

附录 B. CropWatch 指标、空间单元和产量估算方法速览

本章附录简要介绍了 CropWatch 指标、空间单元和有关产量估算方法。对 CropWatch 指标、方法的详细介绍，请参阅 <http://www.cropwatch.com.cn> 中 CropWatch 在线资源部分。

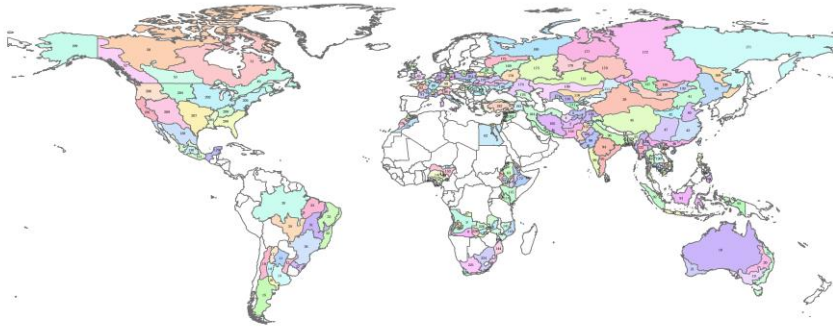
45 个主要国家的农业生产区

总览

全球 45 个主要国家/地区的 228 个农业生产区

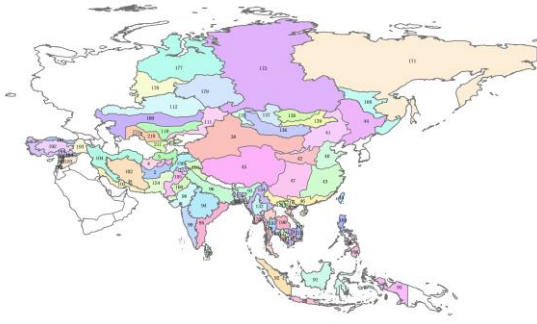
描述

根据种植系统，气候分区和地形条件，将 45 个主要农业国家划分为 228 个农业生产区。每一个国家单独考虑。有限数量的区域（例如，区域 001，区域 027 和区域 127）与当前由 CropWatch 监视的作物无关，但被包括在内以允许对 45 个主要国家进行更全面的覆盖。一些地区与牧场和牲畜监测更为相关，但这对于粮食安全也至关重要。



- | | | | |
|------------------|--------------------|------------------|------------------------|
| 001. 中部植被稀疏区 | 058. 南部高原区 | 115. 北部植被稀疏区 | 172. 西伯利亚中部 |
| 002. 干旱区 | 059. 西部稀疏作物区 | 116. 肯尼亚西南部 | 173. 伏尔加河中游 |
| 003. 雨养和灌溉农业混合区 | 060. 尼罗河三角洲及地中海南岸带 | 117. 洞里萨湖区 | 174. 高加索北部 |
| 004. 雨养农业与畜牧业混合区 | 061. 尼罗河河谷 | 118. 洞里萨湖下游湄公河流域 | 175. 俄罗斯西北部 |
| 005. 干旱区 | 062. 沙漠干旱区 | 119. 北部平原及东北地区 | 176. 高加索南部 |
| 006. 沙漠地带 | 063. 中北部高原区 | 120. 西南部山区 | 177. 亚北极区 |
| 007. 湿润带 | 064. 东部干旱区 | 121. 干旱区 | 178. 乌拉尔山脉至伏尔加-维亚特卡区 |
| 008. 半干旱区 | 065. 大裂谷区 | 122. 中部过渡带 | 179. 西伯利亚西部 |
| 009. 亚湿润带 | 066. 北部干旱区 | 123. 湿润区 | 180. 亚北极区西部 |
| 010. 安第斯山脉地区 | 067. 西北部粮食混种区 | 124. 摩洛哥干旱区 | 181. 第一农业生态分区(a) (西北部) |
| 011. 查科地区 | 068. 西北部灌溉区 | 125. 凉爽半湿润区 | 182. 第一农业生态分区(b) (西北部) |
| 012. 美索不达米亚地区 | 069. 西北部半干旱区 | 126. 温性半干旱区 | 183. 巴蒂亚草原区 |
| 013. 潘帕斯地区 | 070. 东南部玉米混种区 | 127. 温性湿润区 | 184. 第二农业生态分区 (北部) |
| 014. 潘帕斯山脉地区 | 071. 东南地区 | 128. 北部干旱半干旱区 | 185. 第三农业生态分区 (北部) |
| 015. 巴塔哥尼亚干旱区 | 072. 半干旱草原区 | 129. 热带雨林区 | 186. 第四农业生态分区 (北部) |
| 016. 潘帕斯半干旱区 | 073. 西南高原咖啡种植区 | 130. 温带半湿润区 | 187. 双季/三季稻种植区 |
| 017. 热带丘陵地区 | 074. 西部玉米混种区 | 131. 亚热带-热带区 | 188. 园艺种植区 |
| 018. 干旱和半干旱带地区 | 075. 中部干旱区 | 132. 中部平原 | 189. 山区区域 |
| 019. 东南部小麦带地区 | 076. 东部高原区 | 133. 沿海地区 | 190. 季水稻种植区 |
| 020. 半湿润亚热带地区 | 077. 地中海气候区 | 134. 山地丘陵地区 | 191. 黑海地区 |
| 021. 西南部小麦带地区 | 078. 北部大麦区 | 135. 阿尔泰地区 | 192. 中部安那托利亚地区 |
| 022. 湿润温带和亚热带地区 | 079. 西北玉米和大麦混种区 | 136. 戈壁沙漠区 | 193. 东部安那托利亚地区 |
| 023. 沿海地区 | 080. 油菜种植区 | 137. 枕爱山区至库苏古尔省 | 194. 马尔马拉海、爱琴海、地中海地区 |
| 024. 恒河平原 | 081. 西南玉米区 | 138. 色楞格省-鄂毕地区 | 195. 中部小麦产区 |
| 025. 山地丘陵地区 | 082. 西部玉米、大麦和油菜混种区 | 139. 中部和东部草原地区 | 196. 山地地区 |
| 026. 锡尔赫特盆地 | 083. 中部稀疏作物区 | 140. 布齐河流域 | 197. 北部小麦产区 |
| 027. 白俄罗斯中部 | 084. 北方大麦区 | 141. 北部高海拔地区 | 198. 南部小麦和玉米产区 |
| 028. 白俄罗斯北部 | 085. 南方小麦大麦混合区 | 142. 赞比西流域下游 | 199. 阿拉斯加与夏威夷 |
| 029. 白俄罗斯南部 | 086. 匈牙利中部 | 143. 北部沿海地区 | 200. 青草地 |
| 030. 亚马逊雨林区 | 087. 大平原 | 144. 莫桑比克南部 | 201. 加利福尼亚 |
| 031. 中部热带稀疏草原区 | 088. 匈牙利北部 | 145. 衍生稀树草原区 | 202. 玉米带 |
| 032. 东部沿海区 | 089. 多瑙河西部 | 146. 淡水沼泽地 | 203. 密西西比河下游 |
| 033. 农牧交错区 | 090. 爪哇岛 | 147. 几内亚草原 | 204. 大平原北部 |
| 034. 马托格罗索及周边区域 | 091. 加里曼丹和苏拉威西岛 | 148. 乔斯高原 | 205. 东北地区 |
| 035. 巴西东北部 | 092. 苏门答腊岛 | 149. 低地雨林区 | 206. 西北地区 |
| 036. 巴拉纳河流域 | 093. 西巴布亚 | 150. 红树林生态区 | 207. 大平原南部 |
| 037. 亚热带农牧区 | 094. 中部地区 | 151. 森林山区 | 208. 东南地区 |
| 038. 中国甘肃、新疆地区 | 095. 东部沿海地区 | 152. 萨赫勒草原 | 209. 西南地区 |
| 039. 中国海南省 | 096. 恒河平原 | 153. 苏丹草原区 | 210. 中部非农业区 |
| 040. 中国黄淮海地区 | 097. 印度东北部 | 154. 俾路支地区 | 211. 谷物产区 |
| 041. 中国内蒙古地区 | 098. 西部干旱区 | 155. 印度河下游地区 | 212. 棉花产区 |
| 042. 中国黄土高原地区 | 099. 西部沿海地区 | 156. 北部高原 | 213. 越南中部高原区 |
| 043. 中国长江下游 | 100. 西部干旱区 | 157. 旁遮普北部 | 214. 湄公河三角洲 |
| 044. 中国东北部 | 101. 西部喜马拉雅区 | 158. 农林交错区 | 215. 越南中北部沿海地区 |
| 045. 中国青海、西藏地区 | 102. 中部地区 | 159. 丘陵农业区 | 216. 越南东北部 |
| 046. 中国南部地区 | 103. 南部沿海区域 | 160. 低地农业区 | 217. 越南西北部 |
| 047. 中国西南部 | 104. 西部与北部区域 | 161. 中部黑麦马铃薯产区 | 218. 红河三角洲 |
| 048. 中国台湾省 | 105. 意大利东部 | 162. 北部燕麦马铃薯产区 | 219. 越南中南部沿海地区 |
| 049. 大西洋区 | 106. 意大利北部 | 163. 中北部小麦甘蔗产区 | 220. 越南东南部 |
| 050. 北冰洋区 | 107. 意大利南部 | 164. 南部小麦甘蔗产区 | 221. 干旱沙漠区 |
| 051. 哈德逊湾区 | 108. 意大利西部 | 165. 中部地区 | 222. 亚热带湿润区 |
| 052. 太平洋区 | 109. 中部非农业区 | 166. 南部和东部平原地区 | 223. 地中海气候带 |
| 053. 大草原区 | 110. 中南部地区 | 167. 西部地区 | 224. 半干旱草原区 |
| 054. 东部稀疏作物区 | 111. 东部高原和东南部地区 | 168. 阿穆尔和滨海边疆区 | 225. 卢安瓜-赞比西裂谷 |
| 055. 中部小麦种植区 | 112. 北部地区 | 169. 俄罗斯中部地区 | 226. 北部多雨区 |
| 056. 北部小麦种植区 | 113. 东部沿海区 | 170. 中央黑土区 | 227. 中部、东部和南部高原 |
| 057. 西北部小麦与蔬菜混种区 | 114. 高原农业区 | 171. 东西伯利亚 | 228. 西部半干旱平原 |

亚洲



- | | | |
|------------------|-----------------|------------------------|
| 001. 中部植被稀疏区 | 102. 中东部地区 | 172. 西伯利亚中部 |
| 002. 干旱区 | 103. 南部沿海区域 | 177. 东北区 |
| 003. 南养和灌溉农业混合区 | 104. 西部与北部区域 | 178. 乌拉尔山脉至伏尔加河下游 |
| 004. 南养农业与畜牧业混合区 | 109. 中部非农业区 | 179. 西伯利亚西部 |
| 023. 沿海地区 | 110. 中南部地区 | 181. 第一农业生态分区(a) (西北部) |
| 024. 恒河平原 | 111. 东部高原和东南部地区 | 182. 第一农业生态分区(b) (西北部) |
| 025. 山地丘陵地区 | 112. 北部地区 | 183. 巴尼亚亚地区 |
| 026. 德赫特特地区 | 117. 洞生萨南区 | 184. 第二农业生态分区 (北部) |
| 038. 中国甘肃、新疆地区 | 118. 洞生萨南下游湖河流域 | 185. 第三农业生态分区 (北部) |
| 039. 中国海南省 | 119. 北部平原及东北地区 | 186. 第四农业生态分区 (北部) |
| 040. 中国黄淮海地区 | 120. 西南部山区 | 187. 双季三季稻种植区 |
| 041. 中国内蒙古地区 | 121. 干旱区 | 188. 园艺种植区 |
| 042. 中国黄土高原地区 | 122. 中部过渡带 | 189. 山区区域 |
| 043. 中国长江下游 | 123. 淮南区 | 190. 单季水稻种植区 |
| 044. 中国东北部 | 132. 中部平原 | 191. 黑海地区 |
| 045. 中国青海、西藏地区 | 133. 沿海地区 | 192. 中部安那托利亚地区 |
| 046. 中国南部地区 | 134. 山地丘陵地区 | 193. 东部安那托利亚地区 |
| 047. 中国西南部 | 135. 阿尔泰地区 | 194. 马尔马拉海、爱琴海、地中海地区 |
| 048. 中国台湾省 | 136. 戈壁沙漠区 | 210. 中部非农业区 |
| 090. 爪哇岛 | 137. 杭蒙山区至库吉尔省 | 211. 谷物产区 |
| 091. 加里曼丹和苏拉威西岛 | 138. 色楞格省-鄂嫩地区 | 212. 棉花产区 |
| 092. 苏门答腊岛 | 139. 中部和东部草原地区 | 213. 越南中部高原区 |
| 093. 西巴布亚 | 154. 南岛文地区 | 214. 富安河三角洲 |
| 094. 中部地区 | 155. 印度河下游地区 | 215. 越南中北部沿海地区 |
| 095. 东部沿海地区 | 156. 北部高原 | 216. 越南东北部 |
| 096. 恒河平原 | 157. 旁道普北部 | 217. 越南西北部 |
| 097. 印度东北部 | 158. 农林交错区 | 218. 红河三角洲 |
| 098. 西部干旱区 | 159. 丘陵农业区 | 219. 越南中南部沿海地区 |
| 099. 西部沿海地区 | 160. 低地农业区 | 220. 越南东南部 |
| 100. 西部干旱区 | 168. 阿穆尔和滨海边疆区 | |
| 101. 西部喜马拉雅区 | 171. 西伯利亚 | |

欧洲



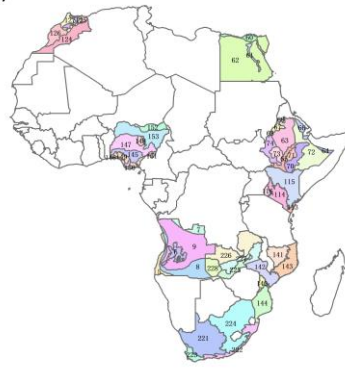
- | | |
|--------------------|----------------|
| 027. 白俄罗斯中部 | 089. 多瑙河西部 |
| 028. 白俄罗斯北部 | 105. 意大利东部 |
| 029. 白俄罗斯南部 | 106. 意大利北部 |
| 054. 东部稀疏作物区 | 107. 意大利南部 |
| 055. 中部小麦种植区 | 108. 意大利西部 |
| 056. 北部小麦种植区 | 161. 中部燕麦马铃薯产区 |
| 057. 西北部小麦与甜菜混种区 | 162. 北部燕麦马铃薯产区 |
| 058. 南部高原区 | 163. 中北部小麦甘蔗产区 |
| 059. 西部稀疏作物区 | 164. 南部小麦甘蔗产区 |
| 075. 中部干旱区 | 165. 中部地区 |
| 076. 东部高原区 | 166. 南部和东部平原地区 |
| 077. 地中海气候区 | 167. 西部地区 |
| 078. 北部大麦区 | 169. 俄罗斯中部地区 |
| 079. 西北玉米和大麦混种区 | 170. 中央黑土区 |
| 080. 油菜种植区 | 173. 伏尔加河中游 |
| 081. 西南玉米区 | 174. 高加索北部 |
| 082. 西部玉米、大麦和油菜混种区 | 175. 俄罗斯西北部 |
| 083. 中部稀疏作物区 | 176. 高加索南部 |
| 084. 北方大麦区 | 180. 亚北地区西部 |
| 085. 南方小麦大麦混合区 | 195. 中部小麦产区 |
| 086. 匈牙利中部 | 196. 山地地区 |
| 087. 大平原 | 197. 北部小麦产区 |
| 088. 匈牙利北部 | 198. 南部小麦和玉米产区 |

南美洲

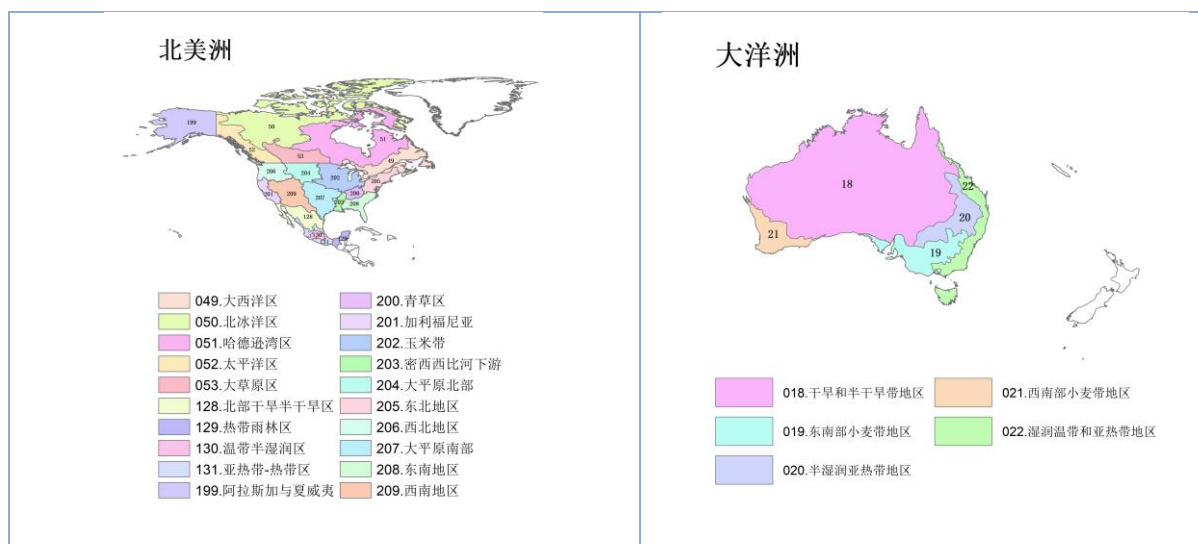


- | | |
|---------------|-----------------|
| 010. 安第斯山脉地区 | 030. 亚马逊雨林区 |
| 011. 查科地区 | 031. 中部热带稀疏草原区 |
| 012. 美索不达米亚地区 | 032. 东部沿海区 |
| 013. 潘帕斯地区 | 033. 农牧交错区 |
| 014. 潘帕斯山脉地区 | 034. 马托格罗索及周边区域 |
| 015. 巴塔哥尼亚干旱区 | 035. 巴西东北部 |
| 016. 潘帕斯半干旱区 | 036. 巴拉纳河流域 |
| 017. 热带丘陵地区 | 037. 亚热带农牧区 |

非洲



- | | | |
|-------------------|----------------|-----------------|
| 005. 干旱区 | 072. 半干旱草原区 | 146. 淡水沼泽林地 |
| 006. 沙漠地带 | 073. 西南高原咖啡种植区 | 147. 几内亚草原 |
| 007. 湿润带 | 074. 西部玉米混种区 | 148. 东非高原 |
| 008. 半干旱区 | 113. 东部沿海区 | 149. 低地雨林区 |
| 009. 亚湿润带 | 114. 高原农业区 | 150. 红树林生态区 |
| 060. 尼罗河三角洲及地中海南岸 | 115. 北部植被稀疏区 | 151. 森林山区 |
| 061. 尼罗河河谷 | 116. 肯尼亚西南部 | 152. 萨赫勒草原 |
| 062. 沙漠干旱区 | 124. 摩洛哥干旱区 | 153. 苏丹草原区 |
| 063. 中北部高原区 | 125. 埃塞半湿润区 | 221. 干旱沙漠区 |
| 064. 东部干旱区 | 126. 温性半干旱区 | 222. 亚热带湿润区 |
| 065. 大裂谷区 | 127. 温性湿润区 | 223. 地中海气候带 |
| 066. 北部干旱区 | 140. 布齐河流域 | 224. 半干旱草原区 |
| 067. 西北部粮食混种区 | 141. 北部高海拔地区 | 225. 卢安瓜-赞比亚西裂谷 |
| 068. 西北部灌溉区 | 142. 赞比西河流域下游 | 226. 北部多雨区 |
| 069. 西北部半干旱区 | 143. 北部沿海地区 | 227. 中部、东部和南部高原 |
| 070. 东南部玉米混种区 | 144. 莫桑比克南部 | 228. 西部半干旱平原 |
| 071. 东南高地区 | 145. 衍生稀树草原区 | |



CropWatch 指标

CropWatch 指标用来评估农业环境和农作物生长状况及变化。主要使用了两种指标对不同空间单元的作物长势进行分析：（i）农业环境指标——反映天气因素如降雨、温度和光合有效辐射对作物生长的潜在影响，通过潜在生物量来反映；（ii）农情遥感指标——描述作物的生长状况，如植被健康指数，耕地种植比率和最佳植被状态指数等。

其中，农业环境指标（降雨、温度、光合有效辐射）并非传统简单意义上的天气变量，而是在作物生长区内（包括沙漠和牧地）推算的增值指标，并依据农业生产潜力赋予了不同权重，因此适于作物种植区的农业环境分析。对所有指标，取值越高，指示环境条件有利于作物生长或作物生长状态越好。

指标			
指标类型/ 数据来源	单位/ 空间尺度	描述	简介和图例
潜在累积生物量			
Biomass accumulation potential			
农情指标 /遥感数 据	g DM/m ² /基于像 素,也可进 行空间单元 统计	基于监测期内的降雨和温度条件, 对研究区作物种植区内的累积潜在 生物量的估计。	具有两种成图方式,即全球基于象元(0.25×0.25°)潜 在生物量图,和基于 CropWatch 空间单元统计的潜在 生物量图。该指数的变幅分析基于当前生长季与近十 多年同期平均值的差值进行,变幅以百分比表示。
耕地种植比率			
Cropped arable land and cropped arable land fraction			
农情指标 / 遥感数据	取值[0,1] /基于像 素,也可进 行空间单元 统计	耕地种植比率是种植面积与总耕地 面积的比值,基于 NDVI 计算。	通报的监测期为 4 个月,按每月两景影像计算,共 8 景 影像用于每期的耕地种植判断。对于每个像素而言,只 要四个月中有一景影像的值被判定为“耕种”,则该区为 “种植区”;“未种植”意味着在监测期间没有一景探测到作 物种植。该指数的变幅分析基于当前生长季与近五年同 期平均值的差值进行,变幅以百分比表示。
复种指数			
Cropping intensity Index			

指标			
指标类型/ 数据来源	单位/ 空间尺度	描述	简介和图例
农情指标 /遥感数 据	取值[0, 1, 2, 3] / 基于像 素, 统计一 年内作物种 植次数	一年内耕地利用程度, 也是一年内 所有作物各个生长季总种植面积与 总耕地面积的比值	可以基于象元制作空间分布图, 也可以按不同空间单元 (作物主产区、31个国家和中国7大区域)进行统计所有 象元的平均值; 该指数的变幅分析基于当年与近五年 平均值的差值进行, 变幅以百分比表示。
NDVI 归一化植被指数			
Normalized Difference Vegetation Index			
农情指标 /遥感数 据	取值 [0.12- 0.90] / 基于像 素, 也可进 行空间单元 统计	对于绿色生物活力、长势的估计	在国家分析中采用了 NDVI 过程线图, 图中绘制了更新 至当前监测期的 NDVI 全国均值实时变化曲线, 并与前 年、近五年平均水平以及最大水平进行对比, 以反映全 区整体作物生长状况水平及变化过程。此外, 也采用了 距平聚类分析手段, 绘制了 NDVI 的空间距平聚类图和 与之对应的聚类过程线, 用以分析作物长势的空间和时 间变化规律。
CropWatch 光合有效辐射指标			
CropWatch indicator for Photosynthetically Active Radiation (PAR)			
环境指标 /遥感数 据	W/m ² /基于 Cropwatch 空间单元统 计	光合有效辐射是太阳辐射中作物用 于进行光合作用的部分。 对于给定的 CropWatch 空间单元, 光合有效辐射指标是在有作物种植 的像元上依据生产力权重(多年平 均潜在生物量)在监测期内进行加 权累积计算得到。	该指数的变幅分析基于当前生长季值与近十多年同期平 均值的差值进行, 变幅以百分比表示。
CropWatch 降雨指标			
CropWatch indicator for rainfall			
环境指标 /遥感数 据	Liters/m ² , (升/ m ²) /基于 Cropwatch 空间单元统 计	对于给定的 CropWatch 空间单元, 降雨指标是在有作物种植的像元上 根据生产力权重(多年平均潜在生 物量)在监测期内对降雨进行加权 累积计算得到。	采用距平聚类分析手段, 绘制了降雨的空间距平聚类图 和与之对应的聚类过程线, 用以分析研究区降雨变化的 时空规律。该指数的变幅分析基于当前生长季值与近十 四年同期平均值的差值进行, 变幅以百分比表示。
CropWatch 温度指标			
CropWatch indicator for Air Temperature			
环境指标 /气象数 据	°C /Cropwatch 空间单元统 计	对于给定的 CropWatch 空间单元, 温度指标是在有作物种植的像元上 根据生产力权重(多年平均潜在生 物量)在监测期内对气温进行加权 累积计算得到。	采用距平聚类分析手段, 绘制了温度的空间距平聚类图 和与之对应的聚类过程线, 用以分析研究区温度变化的 时空规律。该指数的变幅分析基于当前生长季值与近十 四年同期平均值的差值进行, 变幅以百分比表示。
最佳植被状态指数			
Maximum vegetation condition index (VCIx)			
农情指标 /遥感数 据	取值>0 / 基于像 素, 也可进 行空间单元 统计	用于表述监测期内植被状况所处的 历史水平。0 表示作物状况和近十 余年最差水平相同; 1 表示作物状 况和近十余年最好水平相同; >1 表 示当前监测期作物状况超越历史最 佳水平。	VCIx 是根据监测期间与过去五年中同期的时间序列中 NDVI 值计算得出, 该指标将监测期间的峰值 NDVI 与 过去五年中同期的最大 NDVI 相比较。最佳植被状况指 数(VCIx)表现为基于像素的函数。CWSU 显示为平 均水平。
植被健康指数			
Vegetation health index (VHI)			
农情指标 /遥感数 据	基于像素的 像元值	VHI 是植被状况指数和温度状态指 数的加权平均。VHI 基于高温对作 物生长不利的假设, 而忽略了低温 条件对作物生长的负面影响。	植被健康指数的低值表示作物生长状况受到胁迫。在洲 际作物主产区采用了距平聚类分析手段, 绘制了 VHI 的 空间距平聚类图和与之对应的聚类过程线, 用以分析作 物生长状况的空间和时间变化规律。
最小植被健康指数			
Minimum Vegetation health index (VHI_n)			

农情指标/遥感数据	取值[0, 100]/基于像素的像元值	VHI _n 是监测期内每个像元的最小VHI值, 一般VHI _n 值小于35表示作物长势不佳。	VHI _n 的低值表示作物生长受到旱情影响, 往往反应监测期降水量低于平均水平。在作物主产区尺度上, VHI _n 的空间分辨率为4km, 按周统计; 在中国尺度上, VHI _n 的空间分辨率为1km, 按旬统计。
作物生产形势指数			
Crop Production Index (CPI)			
农情指标/遥感数据	取值>0 / 基于像素, 也可进行空间单元统计	以空间单元过去5年同期作物生产状况的平均水平为基准, 对当季的作物生产形势进行总体评估。	基于空间单元的灌溉区与雨养区在当前生长季的和过去5年同期的最佳植被状况指数、耕地种植比率、土地生产力和作物种植面积, 通过数学模型计算得到, 以归一化的数值表示, 数值1.0代表空间单元当季的作物生产形势基本正常, 数值越大代表空间单元当季的作物生产形势越好, 数值越小代表空间单元当季的作物生产形势越差。

注: CropWatch所使用环境指标和农情指标的原始产品都是基于像素的, 但是环境指标都是基于其在CropWatch空间单元上的平均统计数据进行分析的。

CropWatch 空间单元

CropWatch 通报中使用了四类空间单元, 国家、中国、作物主产区和制图报告单元。下面的表格里概要描述了各个空间单元, 并给出了它们之间的关联关系。对空间单元和边界的详细描述, 请参见 **CropWatch 在线资源部分**。

空间单元	
中国	
<i>概述</i>	<i>描述</i>
7个监测区	中国的7个监测区涵盖了国内玉米、水稻、小麦和大豆的主产省份(每个监测区所包含的省份在图中以颜色显示)。
国家(一级行政区, 州和省等)	
<i>概述</i>	<i>描述</i>
44+1个粮食主产国(含中国)涵盖	Cropwatch 按照占全球大宗粮油作物(玉米、水稻、小麦和大豆)生产和出口80%的标准选取了44个重点国家进行作物长势监测和产量预测。其中, 一些国家由于临近中国(如乌兹别克斯坦和柬埔寨等国)、



产量估算方法

CropWatch 对产量的预测是基于去年的作物产量，通过对当年作物单产和面积相比于上一年变幅的计算，预测当年的作物产量。计算公式如下：

$$\text{总产}_i = \text{总产}_{i-1} * (1 + \Delta\text{单产}_i) * (1 + \Delta\text{面积}_i)$$

式中 i 代表关注年份， $\Delta\text{单产}_i$ 和 $\Delta\text{面积}_i$ 分别为当年单产和面积相比于上一年的变化比率。

对于 45 个粮食主产国，单产的变幅是通过建立当年的 NDVI 与上一年的 NDVI 时间序列函数关系获得。计算公式如下：

$$\Delta\text{单产}_i = f(\text{NDVI}_i, \text{NDVI}_{i-1})$$

式中 $NDVI_i$ 和 $NDVI_{i-1}$ 是当年和上一年经过作物掩膜后的NDVI序列空间均值。通过对比过去五年同期平均的NDVI值，利用当期NDVI判断作物长势情况。考虑各个国家不同作物的物候，可以根据NDVI时间序列曲线的峰值或均值计算单产的变幅。

中国地区作物种植面积和其他国家的作物种植面积估算方法有所不同。对于中国、美国和加拿大，通报基于CropWatch系统利用作物种植比例（播种面积/耕地面积）和作物种植结构（某种作物播种面积/总播种面积）对播种面积进行估算。其中，中国的耕地种植比率基于高分辨率的环境星（HJ-1 CCD）数据和高分一号（GF-1）数据由非监督分类获取，美国和加拿大的耕地种植比例基于MODIS数据估算（具体方法见CropWatch在线资源）；中国的作物种植结构通过GVG系统由田间采样获取，美国和加拿大的作物种植结构由主产区线采样抽样统计获取。通过农田面积乘以作物种植比例和作物种植结构估算不同作物的播种面积。

对于其他主产国的种植面积估算，我们引入耕地种植比率（CALF）的概念进行计算，公式如下：

$$\text{面积}_i = a + b \times \text{CALF}_i$$

式中 a, b 为利用2002-2018年时间序列耕地种植比率（CALF）和2002-2018年FAOSTAT或各国发布的面积统计数据线性回归得到的两个系数，各个国家的耕地种植比率通过CropWatch系统计算得出。通过当年和去年的种植面积值计算面积变幅。

参考文献

<https://www.imsilkroad.com/news/p/498360.html>
<https://data.casearth.cn/en/contentEditReport/toContentEditReportIndex#:~:text=In%20November%202022%2C%20the%20desert%20locusts%20were%20mainly%20distributed%20on,number%20of%20locusts%20increased%20slightly>
<http://desertlocust-crc.org/Pages/NewsDetails.aspx?lang=EN&Cat=2&I=0&DId=0&CId=0&CMSId=800362&id=2407045>
<https://reliefweb.int/report/philippines/philippines-flooding-mimaropa-4-jan-2023> .
https://www.adrc.asia/view_disaster_en.php?NationCode=608&Lang=en&Key=2590
<https://reliefweb.int/disaster/fl-2022-000348-cri>
<https://reliefweb.int/report/chile/chile-fires-december-2022-dref-application-mdrcl015>
<https://reliefweb.int/attachments/ff4b5672-6171-4049-9eaa-811ee5d846c4/MDRCL015do.pdf>
<https://www.fao.org/ag/locusts/en/info/info/index.html>
<https://droughtwatch.icpac.net/mapviewer/>
<https://reliefweb.int/report/somalia/drought-horn-africa-regional-analysis-february-2023>
<https://reliefweb.int/report/uruguay/uruguay-droughts-january-2023-dref-application-mdrudy004>
https://ipad.fas.usda.gov/cropexplorer/pecad_stories.aspx?regionid=umb&ftype=prodbriefs
<https://edition.cnn.com/2023/01/15/business/global-food-crisis-davos/index.html>
<https://reliefweb.int/report/argentina/heat-and-drought-bite-large-parts-south-america#:~:text=Since%202019%20large%20parts%20of,led%20to%20widespread%20crop%20failures>.
<https://www.thehindu.com/sci-tech/energy-and-environment/drought-in-peru-andes-proves-fatal-for-alpacas-potato-crops/article66222283.ece>
<http://www.bom.gov.au/climate/enso/index.shtml#tabs=Overview>
 Home | Famine Early Warning Systems Network (fews.net)

致谢

本期通报由中国科学院空天信息创新研究院的 CropWatch 国际团队撰写。我们诚挚地感谢在通报撰写过程中得到的来自国内和国际各方的有力支持。

本通报得到了中华人民共和国科学技术部、国家自然科学基金委员会以及中国科学院的项目和经费支持，包括科技部国家重点研发计划（2019YFEO126900，2022YFE0113900，2022YFD2001102）、国家自然科学基金委国际(地区)合作与交流项目（41861144019）、中国科学院 A 类先导专项（XDA19030200）、“一带一路”国际科学组织联盟资助（编号: ANSO-CR-KP-2020-07、ANSO-SBA-2022-02）。

我们衷心感谢以下组织机构对本通报的支持和帮助：中华人民共和国科学技术部国家遥感中心和中国资源卫星应用中心提供的 GF 一号宽幅多光谱数据和环境星 CCD 数据、国家卫星气象中心提供的风云 2/3 数据、中国气象科学数据共享服务网提供农业气象数据。

我们也衷心感谢以下国际组织和个人对此次通报的支持和帮助：感谢欧盟联合研究中心粮食安全部门(FOODSEC/JRC)的 François KayitaKGZe 和 FerdinandoUrbano 提供的作物掩膜数据；感谢 VITO 公司的 Herman Eerens, Dominique Haesen, 以及 Antoine Royer 提供的 SPIRITS 软件、SPOTVGT 遥感影像、生长季掩膜数据和慷慨的建议；感谢 PatriziaMonteduro 和 Pasquale Steduto 提供的 GeoNetword 产品的技术细节；感谢国际应用分析研究所和 Steffen Fritz 提供的国际土地利用地图。

在线资源



本期通报只是 CropWatch 农情信息的一部分。请访问 www.cropwatch.com.cn、<http://cloud.cropwatch.com.cn/> 以获取更多资源，包括 CropWatch 方法集，国家简介以及 CropWatch 相关出版物。若还需要额外信息、高分辨率图像或申请数据产品，请联系 CropWatch 团队 cropwatch@radi.ac.cn。

www.cropwatch.com.cn、<http://cloud.cropwatch.com.cn/>在线资源内容列表：

A. 空间单元定义

介绍了通报分析中使用的四种空间尺度单元：制图报告单元(MRU)，农业主产区(MPZ)，农业主产国以及部分主产大国的升/州级别。

B. 数据与方法

概述了 CropWatch 使用的数据集和方法集。

C. 时间序列指数集

包括时间序列的环境指标和作物指标。

D. 国家简介

对 42 个农业主产国(包括中国)的相关农业背景的介绍。

E. 国家长时间序列变化趋势

对各国家玉米、水稻、大豆和小麦四种作物的种植面积，作物单产及总产长时间序列(2001-12)变化趋势的速览(基于 FAOSTAT 数据集)。

本期 CropWatch 通报使用了一些处于试验阶段的新指数。我们非常愿意收到来自您对这些指数产品在不同地区应用效果的意见反馈。若您对本通报的内容以及新指数的使用方法有任何的意见和建议，欢迎您联系：

吴炳方 研究员
中国科学院空天信息创新研究院

电话：+8610-64842375/ 64842376
邮箱：cropwatch@radi.ac.cn,
wubf@aircas.ac.cn
